

## Imagen en cardiología

# Optimización de *stent* metálico en la evaluación de *stent* específico para bifurcaciones



## Metallic Stent Optimization in Dedicated Bifurcation Stent Assessment

Santiago Jesús Camacho Freire\*, Javier León Jiménez y Antonio Enrique Gómez Menchero

Servicio de Cardiología, Hospital Universitario Juan Ramón Jiménez, Huelva, España

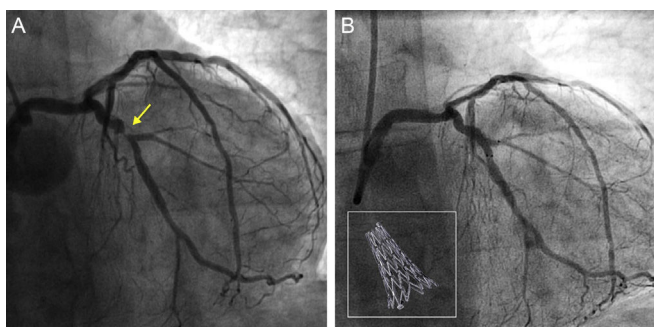


Figura 1.

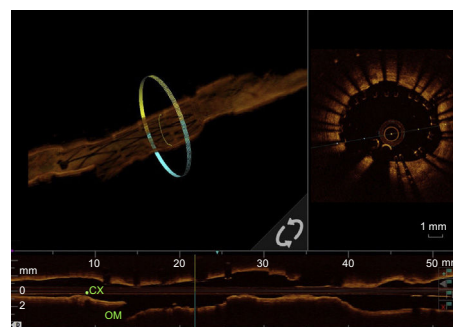


Figura 2.



Figura 3.

Varón de 67 años, hipertenso, diabético y dislipémico, que se presentó con infarto sin elevación del segmento ST lateral. En la **figura 1A** se aprecia una lesión grave de bifurcación 1,0,0 (flecha) en la arteria circunfleja, que se resolvió mediante el implante de un *stent* específico para bifurcaciones (Axxess 3,5 × 14 mm) (**figura 1B**, recuadro), con buen resultado angiográfico (**figura 1B**). Se comprobó, mediante tomografía de coherencia óptica con reconstrucción tridimensional, la correcta aposición del *stent* distalmente y la adecuada cobertura de los *ostium* de ambas ramas, dejando la carina libre de *struts* (**figura 2**). Mediante el programa informático OPTIS Metallic Stent Optimization, se procesaron las imágenes (**figura 2**, **figura 3A**, **figura 3B** y **vídeo del material suplementario**), en las que se observaba una aposición discretamente mala a nivel medio y muy mala a nivel proximal. Los *struts* coloreados en amarillo representan la aposición levemente mala, mientras que aquellos en rojo reflejan una importante mala aposición (> 300 μm). Con base en estos hallazgos, se realizó posdilatación mediante balón no adaptable, que logró un excelente resultado angiográfico, comprobado por tomografía de coherencia óptica. La valoración del resultado tras al implante mediante técnicas de imagen intracoronarias, especialmente cuando se trata de lesiones en bifurcación, es de gran utilidad a pesar de los buenos resultados angiográficos. La reconstrucción mediante el sistema OPTIS Metallic Stent Optimization muestra, de forma novedosa, rápida y muy ilustrativa, los resultados tras el implante.

Esta figura se muestra a todo color solo en la versión electrónica del artículo.

### MATERIAL SUPLEMENTARIO



Se puede consultar material suplementario a este artículo en su versión electrónica disponible en [doi:10.1016/j.recesp.2016.07.018](https://doi.org/10.1016/j.recesp.2016.07.018).

\* Autor para correspondencia:  
Correo electrónico: [navallana@hotmail.com](mailto:navallana@hotmail.com) (S.J. Camacho Freire).  
On-line el 23 de agosto de 2016

Full English text available from: [www.revespcardiol.org/en](http://www.revespcardiol.org/en)